

UOT 621.472:662.997

**GÜNƏŞ ENERGETİK QURĞUSUNUN BORUŞƏKILLİ HELIOREAKTOR VƏ
İSTİLİKDAŞIYICI SİSTEMİNİN EKSPERİMENTAL NƏTİCƏLƏRİNƏ
ƏSASƏN İSTİLİK-ENERGETİK HESABATI**

MƏMMƏDOV F.F., SALAMOV O.M., QƏRİBOV A.A.

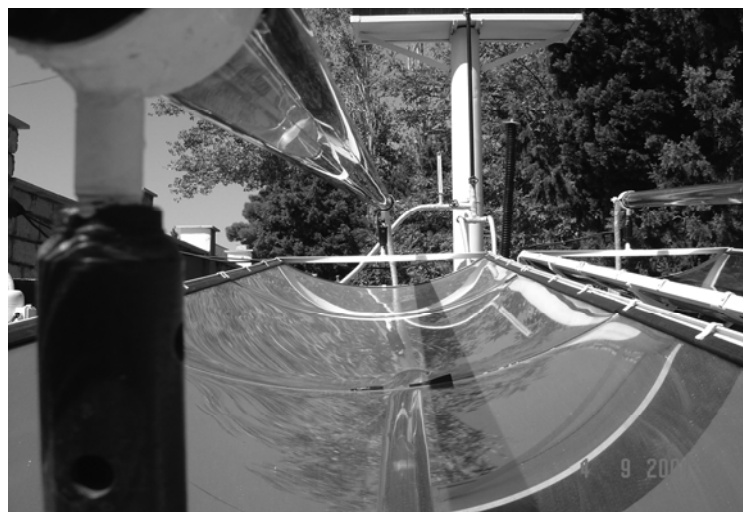
AMEA Radiasiya Problemləri İnstitutu

Məqalədə təbii sınaqların təcrubi qiymətlərini nəzərə almaqla günəş radiasiyası intensivliyinin müxtəlif qiymətlərində günəş energetik quğusunun boruşəkilli helioreaktorunun istilik-energetik hesabatının nəticələri göstərilmişdir.

Günəş enerjisindən istifadə etməklə xam neftin emala hazırlanması prosesində günəş energetik quğusunun (GEQ) parametrlərinin düzgün seçilməsi əsas şərtlərdən biridir. Burada əsasən konsentratorun həndəsi və optik göstəricilərinə uyğun gələn və günəş şüası enerjisinin sıxlığından (GSES) asılı olaraq helioreaktorun səthində və müvafiq olaraq istilikdaşıyıcıda yaranan temperatura görə onun sərfinin və sürətinin seçilməsi, digər tərəfdən helioreaktorun çıxış parametrlərindən asılı olan və istilikdəyişdiricidə konsentratorların gücünə görə əvvəlcədən hesablanmış neftin emala hazırlanma məhsuldarlığının təmin olunması üçün istilikdaşıyıcı ilə neft arasında istilk mübadilə prosesinin dəqiqliyə həyata keçirilməsi nəzərdə tutulur [1].

Helioreaktorun diametri 2 modullu GEQ-nun konsentratorunun açılma bucagına, həndəsi mükəmməlliyinə və eninə əsasən təyin olunur. Bizim halda konsentratorun adı çəkilən parametrlərinin qiymətlərini nəzərə alaraq helioreaktorun və molibden şüşə borunun konstruktiv parametrləri seçilmişdir. Buna müvafiq olaraq helioreaktorun çıxışındaki istilikdaşıyıcıının istilikdəyişdiriciyə daxil olması və istilikdəyişdiricidən çıxan istilikdaşıyıcıının nasos vasitəsilə yenidən helioreaktorlara qayıtməsi üçün istifadə olunan birləşdirici rezin boruların istilikdaşıyıcıının temperaturuna görə davamlı olması, burada ətraf mühitə istilik itkilərinin mümkün qədər az olması, onun uzunluğu, daxili və xarici diametrləri əvvəlcədən hesablanmış, alınmış qiymətlərə əsasən standart rezin borular seilmişdir.

GEQ – nun boru tipli helioreaktoru polad borudan ibarətdir və konsentratorun fokal oxu boyunca diametal şəkildə yerləşdirilməklə onun gövdəsinə bərkidilmişdir. Konsentratorun helioreaktorla birgə konstruktiv sxemi və əsas parametrləri ədəbiyyatda [2,3] verilmişdir.



Şək. 1. Konsentratorun helioreaktorla birgə əyani görünüşü

Günəş şüaları normal istiqamətdə düşən halda konsentratorun səthindən eks olunan şüa enerjisi helioreaktorun şüa qəbul edən səthində onun uzunluğu boyu bərabər paylanır.

Qurğu təbii şəraitdə sınaqdan keçirilərkən yay mövsümü üçün GSES-nin orta qiyməti $I=750 \text{ Vt/m}^2$ götürülmüşdür. Bu zaman istilikdəyişdəricidə normal istilik mübadiləsi prosesinin getməsi üçün istilikdaşıyıcının iki ədəd helioreaktor üçün ümumi sərfi 480 kq/saat və temperatur düşgüsü $\Delta t_{id}=4,3^0\text{S}$ olmaqla istilikdaşıyıcının helioreaktorun girişindəki və çıxışındakı temperaturları isə münasib olaraq $t_{id}^{qir}=75,7^0\text{S}$ və $t_{id}^{qix}=80^0\text{S}$ seçilmişdir.

Helioreaktorun istilik-energetik həm qeyd olunan şərtlər daxilində, həm də $t_{id}^{qix}=80^0\text{S}$ olmaqla Δt_{id} -nin və GSES-nin müxtəlif qiymətləri üçün ayrı-ayrılıqda hesablanmış nəticə etibarilə istilikdaşıyıcının sərfinin müxtəlif iş rejimləri üçün optimal qiymətləri təyin edilmişdir [4].

Helioreaktorun aktiv şüa qəbuledici səthinə düşən günəş enerjisinin ümumi miqdarı aşağıdakı düstur vasitəsilə təyin edilmişdir [5,6].

$$Q_{hr}^a = S_{hr}^a \cdot C \cdot I \cdot R_g \cdot n \quad (1)$$

Burada, helioreaktorun aktiv şüa qəbuledici səthinin sahəsini nəzərə alsaq, onda

$$Q_{hr}^a = \frac{1}{3} \pi \cdot d_{hr}^x \cdot l_{hr} \cdot K \cdot C \cdot I \cdot R_g \cdot n \quad (2)$$

Burada, $d_{hr}^x=0,05 \text{ m}$ – helioreaktorun xarici diametridir; $l_{hr}=3,0 \text{ m}$ helioreaktorun uzunluğu; K - əmsaldır, (bizim halda $U_0=60^0$ üçün $K=0,829$); $C=19$ konsentratorun konsenetrasiya dərəcəsidir; I -parabolosilikindirik konsentratorun (PK) modullarının səthinin hər kvadrat metrinə düşən GSES-nin qiymətidir (hesabat üçün orta qiymət $I=750 \text{ Vt/m}^2$ götürülmüşdür); $R_g=0,8$ PK-in günəş şüalarını əksetdirmə əmsalıdır; $n=2$ - PK-un modullarının sayıdır.

Helioreaktorda ayrılan ümumi istilik enerjisinin miqdarı (Q_{hr}^{um}) aşağıdakı düsturla tapılır:

$$Q_{hr}^{um} = Q_{hr}^a \cdot \varepsilon_{hr} \cdot A_{sb} \quad (3)$$

Burada, $\varepsilon_{hr}=0,91$ - helioreaktorun selektiv səthinin qaralıq dərəcəsidir; $A_{sb}=0,9$ izoləedici molibden şüşə borunun integrallı şüa buraxma əmsalıdır.

Helioreaktorun və helioreaktorla istilikdəyişdiricini birləşdirən kommunikasiya xəttlərinin səthlərindən itən istilik itkiləri aşağıdakı düsturlar vasitəsilə hesablanır.

- Şüalanma yolu ilə ilə helioreaktorun səthindən itən istilik itkisi,

$$Q_{hr}^s = \frac{1}{2} \pi \cdot d_{hr}^x \cdot l_{hr} \cdot \varepsilon_{hr} \cdot \sigma \cdot (t_{xd}^4 - t_h^4) \quad (4)$$

Burada, $\sigma=5,67 \cdot 10^{-8} \text{ Vt/(m}^2\text{K}^4)$ - Stefan-Bolsman sabitidir; t_{xd} -helioreaktorun xarici divarının orta temperaturudur, (t_{xd} -in aparıldığı şərtlər üçün $t_{xd}=77,85^0\text{S}$); t_h -ətraf mühitin (havanın) temperaturudur (Bakı şəhərində havanın orta illik qiyməti $t_h=14,4^0\text{S}$) [7].

- İzoləedici molibden şüşə borunun səthindən konveksiya yolu ilə itən istilik itkisi,

$$Q_{sb}^k = \frac{1}{2} \pi \cdot d_{sb}^x \cdot l_{sb} \cdot \alpha_{sb} \cdot (t_{sb} - t_h) \quad (5)$$

Burada, $d_{sb}^x=0,064 \text{ m}$ -izoləedici molibden şüşə borunun xarici diametridir; $l_{sb}=3,0 \text{ m}$ izoləedici molibden şüşə borunun uzunluğu; $\alpha_{sb}=4 \text{ Vt/(m}^2\text{S)}$ - izoləedici molibden şüşə borunun səthindən ətraf mühitə konvektiv istilikvermə əmsalıdır; t_{sb} - izoləedici molibden şüşə borunun səthinin orta temperaturudur, $t_{sb}=32^0\text{S}$.

- İzoləedici molibden şüşə borunun səthindən şüalanma yolu ilə itən istilik itkisi,

$$Q_{sb}^s = \frac{1}{2} \pi \cdot d_{sb}^x \cdot l_{sb} \cdot \varepsilon_{sb} \cdot \sigma \cdot (t_{sb}^4 - t_h^4) \quad (6)$$

Burada, ε_{sb} - izoləedici molibden şüşə borunun qaralıq dərəcəsidir, $\varepsilon_{sb}=0,1$.

$Q_{hr}^s, Q_{sb}^k, Q_{sb}^s$ istilik itkilərini nəzərə almaqla helioreaktorun səthindən itən istilik itkilərinin ümumi miqdarı belə hesablanır.

$$Q_{hr}^{it} = Q_{hr}^s + Q_{sb}^k + Q_{sb}^s \quad (7)$$

Helioreaktordan istilikdəyişdiriciyə ötürülən faydalı istilik enerjisinin qiyməti aşağıdakı düsturla hesablanır:

$$Q_{hr}^{fay} = Q_{hr}^{um} - Q_{hr}^{it} \quad (8)$$

Helioreaktorda istilikdaşıyıcıını hər hansı temperatura qədər qızdırmaq üçün lazım gələn istilik enerjisi aşağıdakına bərabərdir [8].

$$Q_{hr}^{laz} = G \cdot C_p (t_{id}^{cix} - t_{id}^{gir}) \quad (9)$$

Burada, G - istilikdaşıyıcının sərfidir; C_p - istilikdaşıyıcının istilik tutumudur; t_{id}^{gir} və t_{id}^{cix} - uyğun olaraq istilikdaşıyıcının helioreaktorun girişindəki və çıxışındakı temperaturlarının qiymətləridir (bizim halda $t_{id}^{cix}=80^{\circ}\text{S}$; $t_{id}^{gir}=65-77^{\circ}\text{S}$).

Qərarlaşmış rejim üçün $Q_{hr}^{fay} = Q_{hr}^{laz}$ olduğundan Q_{hr}^{fay} -nın (8) düsturu ilə təyin edilmiş qiymətlərini (9) düsturunda nəzərə almaqla müxtəlif stasionar rejimlər üçün istilikdaşıyıcının sərfləri aşağıdakı şəkildə hesablanmışdır:

$$G = \frac{Q_{hr}^{fay}}{C_p \Delta t_{id}} \quad (10)$$

Burada, Δt_{id} -istilikdaşıyıcının helioreaktorun girişindəki və çıxışındakı temperaturlarının fərqidir ($\Delta t_{id} = t_{id}^{cix} - t_{id}^{gir}$).

Hesabat zamanı Δt_{id} -nın qiyməti t_{id}^{cix} -in yuxarıda qeyd olunan sabit qiyməti üçün müvafiq artımlarla aşağıdakı şəkildə yarımdiapazonlarla bölünmüştür.

$$t_{id}^{cix}=80^{\circ}\text{S}; \Delta t_{id1}=3^{\circ}\text{S}; \Delta t_{id2}=6^{\circ}\text{S}; \Delta t_{id3}=9^{\circ}\text{S}; \Delta t_{id4}=12^{\circ}\text{S}; \Delta t_{id5}=15^{\circ}\text{S};$$

Hesabat zamanı istilikdaşıyıcının helioreaktorun girişindəki temperaturunun minimal qiyməti 65°S -yə bərabərdir. Bu zaman istilikdaşıyıcının giriş və çıkış temperaturlarının ümumi temperatur düşgüsü $\Delta t_{id}=15^{\circ}\text{S}$ təşkil edir.

PSGEQ-nun helioreaktorunun çıxışındakı f.i.ə. aşağıdakı kimi təyin olunur.

$$\eta_{hr}^{cix} = \eta_{pk} \cdot \eta_{hr}^m \quad (11)$$

Burada, η_{pk} -PK-un f.i.ə.-dır; η_{hr}^m -helioreaktorun məxsusi f.i.ə.-dır.

η_{pk} və η_{hr}^m uyğun olaraq aşağıdakı kimi hesablanırlar:

$$\eta_{pk} = \frac{Q_{hr}^a}{S_{pk} \cdot I \cdot n} \quad (12)$$

$$\eta_{hr}^m = \frac{Q_{hr}^{fay}}{Q_{hr}^a} \quad (13)$$

(12) və (13) düsturlarını (11)-də nəzərə alsaq, onda

$$\eta_{hr}^{cix} = \frac{Q_{fay}}{S_{pk} \cdot I \cdot n} \quad (14)$$

Helioreaktorun səthinin orta temperaturu aşağıdakı tənlik vasitəsilə təyin olunur:

$$t_{hr}^{or} = t_{id}^{or} + \Delta t_{id.d} + \Delta t_{d.x} \quad (15)$$

Burada, t_{id}^{or} -istilikdaşıyıcının orta temperaturudur ${}^0\text{S}$; $\Delta t_{id.d}$ -helioreaktorun daxili divarı ilə istilikdaşıyıcı arasındaki temperatur düşgüsüdür ${}^0\text{S}$; $\Delta t_{d.x}$ -helioreaktorun daxili divarı ilə xarici divarı arasındaki temperatur düşgüsüdür ${}^0\text{S}$.

$\Delta t_{id.d}$ və $\Delta t_{d.x}$ - temperatur düşgüləri aşağıdakı düsturlarla hesablanırlar [9].

$$\Delta t_{id.d} = \frac{Q_{fay}}{\frac{1}{2} \cdot \alpha \cdot \pi \cdot d_d \cdot l_{hr}} \quad (16)$$

$$\Delta t_{d.x} = \frac{Q_{fay}}{\frac{1}{2} \cdot \frac{\lambda_{hr}}{\delta_{hr}} \cdot \pi \cdot d_{hr}^{or} \cdot l_{hr}} \quad (17)$$

Burada, α - divardan istilikdaşıyıcıya istilikvermə əmsalı olub istilikdaşıyıcının və helioreaktorun səthinin orta temperaturundan asılıdır, $\text{Vt/m}^2 {}^0\text{S}$; d_d - helioreaktorun daxili diametridir, $d_d=0,044\text{m}$; λ_{hr} -helioreaktorun divarının istilikkeçirmə əmsalıdır, $\lambda_{hr}=45 \text{ Vt/m} {}^0\text{S}$; δ_{hr} - helioreaktorun divarının qalınlığıdır, $\delta_{hr}=0,003\text{m}$; d_{hr}^{or} - helioreaktorun orta diametridir, $d_{hr}^{or}=0,047\text{m}$.

(16) və (17) düsturları üzrə aparılmış hesabatlardan alınmış nəticələrə əsasən temperatur basqısının helioreaktorun səthinin orta temperaturundan asılılıq qrafikləri qurulmuşdur. Bu zaman aşağıdakı düsturdan istifadə olunmuşdur.

$$\Delta t = \frac{\Delta t_{id.d} + \Delta t_{d.x}}{t_{hr}^{xd}} \quad (18)$$

(16) düsturunda helioreaktorun səthindən ətraf mühitə konvektiv istilikvermə əmsalının qiyməti aşağıdakı düsturla hesablanır.

$$\alpha = Nu_{id} \frac{\lambda_{id}}{d_d} \quad (19)$$

Burada, λ_{id} -istilikdaşıyıcının istilikkeçirmə əmsalıdır və uyğun olan orta temperatura görə ədəbiyyatdan [10] seçilir, $\text{Vt/m} {}^0\text{S}$.

Nüsselt kriteriyasının qiyməti bu tənliklə hesablanır [8],

$$Nu_{id} = 0,021 Re_{id}^{0,8} Pr^{0,43} \left(\frac{Pr}{Pr_s} \right)^{0,25} \cdot \varepsilon_1 \quad (20)$$

Burada, Pr_s - divar səthinin orta temperaturunun Prandtl kriteriyasıdır, $l/d_{hr}^x > 50$ olduğundan $\varepsilon_1 = 1$ olur:

Burada, Re_{id} və Pr-müvafiq olaraq Reynolds və Prandtl kriteriyalarıdır. Prandtl kriteriyasını istilikdaşıyıcının orta temperaturuna görə ədəbiyyatdan [10] tapılır.

Reynolds kriteriyası aşağıdakı düstur vasitəsilə hesablanır,

$$Re_{id} = \frac{V \cdot d_d}{\nu} \quad (21)$$

Burada, V-istilikdaşıyıcının sürətidir, m/san, istilikdaşıyıcının orta temperaturundakı sıxlığından və onun sərfindən asılıdır; V -m²/san- istilikdaşıyıcının orta temperaturdakı kinematik özlülük əmsalıdır və ədəbiyyatdan [10] tapılır.

Helioreaktorun və birləşdirici rezin boruların daxilində hərəkət edən istilikdaşıyıcının sürəti aşağıdakı düsturla hesablanır.

$$V = \frac{4G}{\rho \cdot \pi \cdot d_d^2} \quad (22)$$

Burada, ρ -istilikdaşıyıcının sıxlığıdır və ədəbiyyatdan [10] tapılır;

GŞES-nin yay mövsümü üçün seçilmiş orta qiymətərlində ($I_{yay}^{or}=750$ Vt/m²) və Δt_{id} -nın qəbul edilmiş qiymətlərinə uyğun gələn stasionar rejimdə istilikdaşıyıcının sərfinin helioreaktorun şüa qəbuledən aktiv səthi ilə kontakt müddətindən (j_{hr}^{id}) asılılığını müəyyən edək. Bu məqsədlə aşağıdakı düsturdan istifadə edək.

$$j_{hr}^{id} = \frac{\rho \cdot \pi \cdot d_d^2 \cdot l_{hr}}{4G} \quad (23)$$

Cədvəl 1.
Cədvəldən seçilən parametrlər

$t_{id}^{or}, {}^0S$	$\rho, kg/m^3$	$C_p, KC/kg{}^0S$	$\lambda, Vt/m{}^0S$	$\nu, \cdot 10^{-6} m^2/san$	Pr
72,5	976,3	7,189	0,6695	0,4025	2,465
74,0	975,4	4,19	0,6704	0,395	2,414
75,5	974,5	4,191	0,6713	0,3875	2,363
77,0	973,6	4,193	0,6722	0,38	2,312
78,5	972,7	4,194	0,6731	0,3725	2,261

Cədvəl 2.
Müxtəlif temperatur düşgülərində istilikdaşıyıcının giriş və orta temperaturlarının, həmçinin helioreaktorun xarici divarının orta temperaturunun qiymətləri.

Parametrlər	$\Delta t_{id}, {}^0S$				
	15	12	9	6	3
$t_{id}^{gir}, {}^0S$	65	68	71	74	77
$t_{id}^{or}, {}^0S$	72,5	74,0	75,5	77,0	78,5
$t_{hr}^{xd}, {}^0S$	80,5	81,25	82,0	82,75	83,5

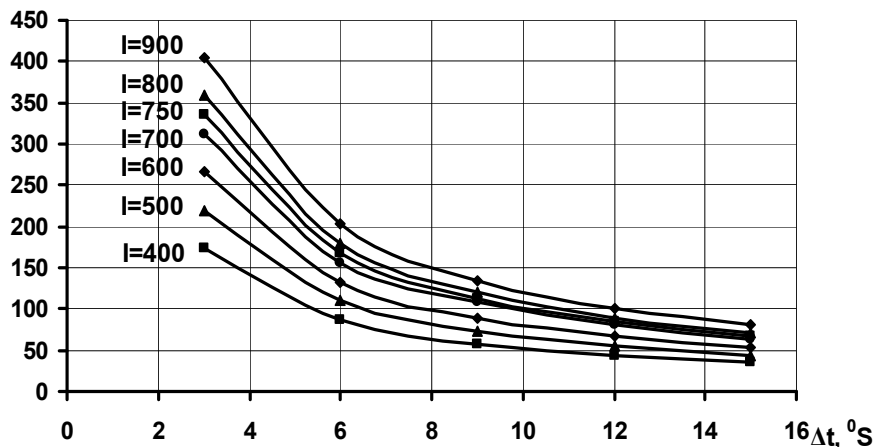
Cədvəl 2-də temperatur düşgüsünün müxtəlif qiymətlərində t_{id}^{gir} , t_{id}^{or} , t_{hr}^{xd} temperaturlarının və Pr kriteriyasının qiymətləri verilmişdir.

Cədvəl 3.

İstilikdaşıyıcının müxtəlif temperatur düşgülərində helioreaktorda və molibden şüşə boruda itən istilik itkiləri

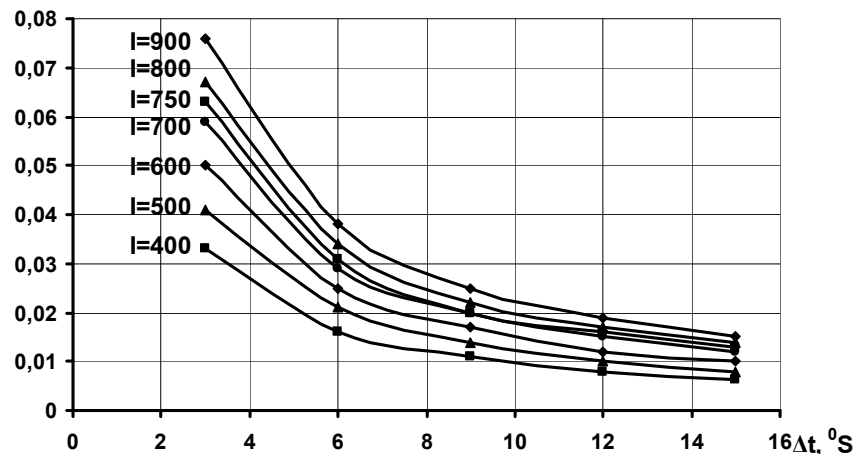
Parametrlər	$\Delta t_{id}, {}^{\circ}\text{S}$				
	15	12	9	6	3
Q_{hr}^s, Vt	0,5	0,52	0,54	0,56	0,58
Q_{sb}^k, Vt	39,85	40,25	40,75	41,2	41,7
Q_{sb}^s, Vt	0,078	0,08	0,083	0,085	0,088
Q_{hr}^{it}, Vt	40,45	40,85	41,35	41,8	42,4

G, kq/saat

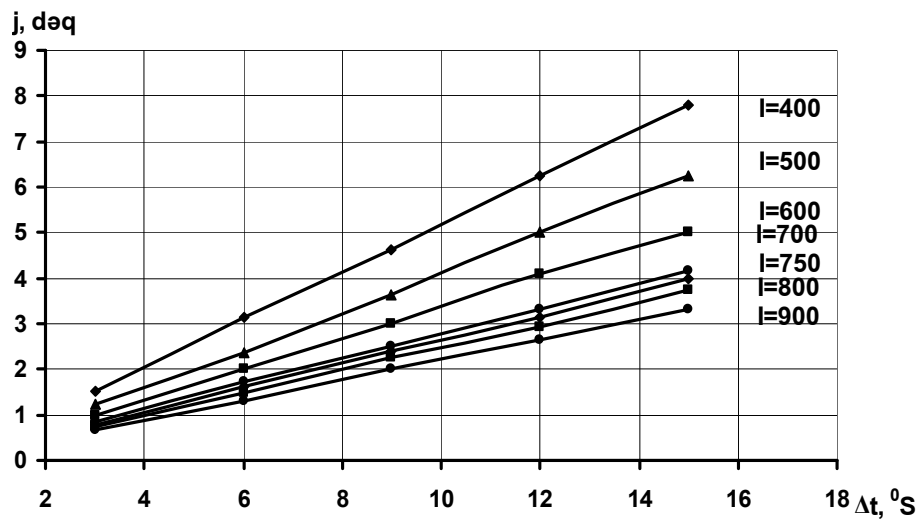


Şəkil 2. GSES-nin müxtəlif qiymətlərində helioreaktordakı istilikdaşıyıcının sərfinin temperatur düşgüsündən asılılığı.

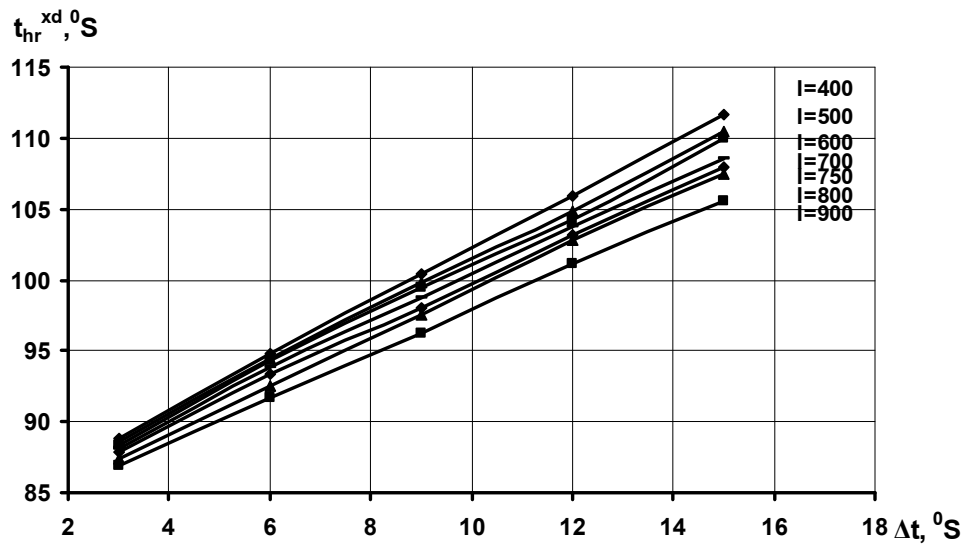
V, m/san



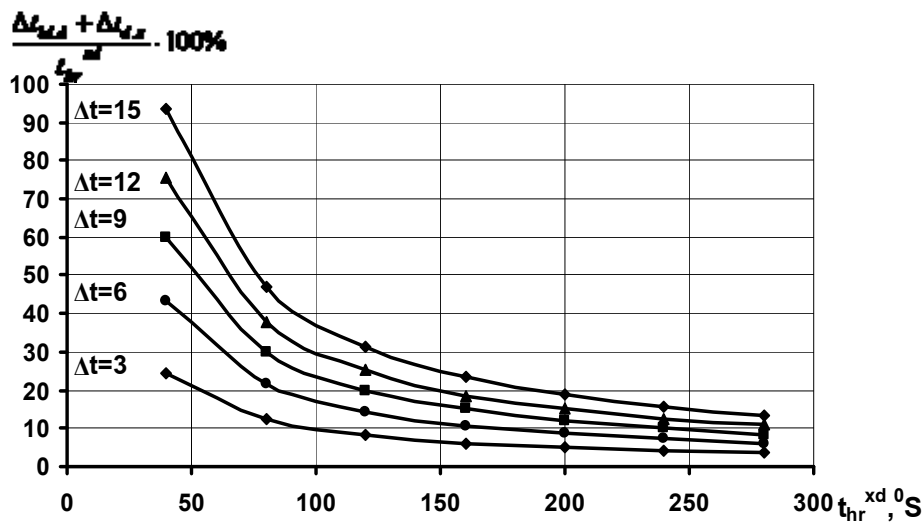
Şəkil 3. GSES-nin müxtəlif qiymətlərində helioreaktordakı istilikdaşıyıcının axma sürətinin temperatur düşgüsündən asılılığı.



Şəkil 4. GŞES-nın müxtəlif qiymətlərində istilikdaşıyıcının helioreaktorun daxili divarı ilə kontakt müddətinin temperatur düşgüsündən asılılığı.



Şəkil 5. GŞES-nın müxtəlif qiymətlərində helioreaktorun xarici divarının orta temperaturunun temperatur düşgüsündən asılılığı.



Şəkil 6. Temperatur düşgüsünün müxtəlif qiymətlərində temperatur basqısının helioreaktorun xarici divarının temperaturundan asılılığı.

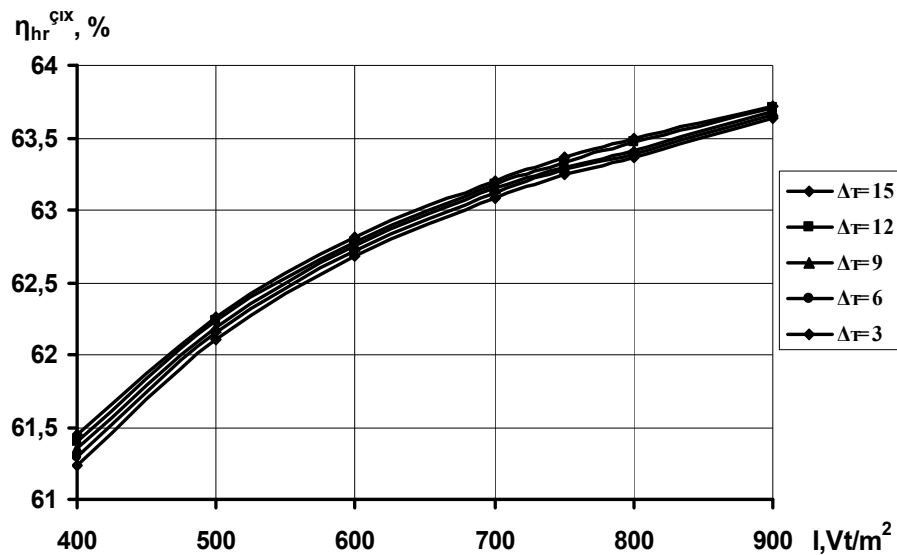
Cədvəl. 4.

Borusəkilli helioreaktorun istilik-energetik hesabatından alınmış nəticələr

Parametrlər	GŞES-nin qiymətləri, Vt/m ²							
	400	500	600	700	750	800	900	
Q_{pk} ,	984	1230	1476	1722	1845	1968	2214	
Q_{hr}^a ,	787,5	984,4	1181,3	1378,1	1476,6	1575,0	1771,9	
Q_{hr}^{um} ,	645,0	806,2	967,5	1128,7	1209,3	1289,3	1451,2	
Q_{hr}^{fay} , Vt	$\Delta t=15^0S$	604,6	765,8	927,1	1088,3	1168,9	1249,5	1410,8
	$\Delta t=12^0S$	604,2	765,4	926,7	1087,9	1168,5	1249,1	1410,4
	$\Delta t=9^0S$	603,7	764,9	926,2	1087,4	1168,0	1248,0	1409,9
	$\Delta t=6^0S$	603,2	764,4	925,7	1086,9	1167,5	1247,5	1409,4
	$\Delta t=3^0S$	602,6	763,8	925,1	1086,3	1166,9	1247,1	1408,8
Re_{id}	$\Delta t=15^0S$	699,6	874,5	1093,2	1311,8	1366,5	1464,8	1639,8
	$\Delta t=12^0S$	891,1	1114,0	1336,7	1670,9	1782,3	1893,7	2116,5
	$\Delta t=9^0S$	1249,0	1589,7	1930,3	2271,0	2271,0	2498,1	2838,7
	$\Delta t=6^0S$	1852,6	2431,6	2897,4	3357,9	3589,5	3936,8	4400,0
	$\Delta t=3^0S$	3898,0	4843,0	5906,0	6969,1	7441,6	7914,1	8977,2
Nu_{id}	$\Delta t=15^0S$	5,85	6,99	8,36	9,67	9,99	10,56	11,56
	$\Delta t=12^0S$	7,1	8,48	9,82	11,74	12,36	12,97	14,18
	$\Delta t=9^0S$	9,3	11,28	13,17	15,0	15,6	16,19	17,94
	$\Delta t=6^0S$	12,75	15,85	18,22	20,52	21,64	23,3	25,47
	$\Delta t=3^0S$	23,12	27,5	32,24	36,8	38,78	40,74	45,06
α	$\Delta t=15^0S$	88,97	106,31	127,15	147,08	151,94	160,61	175,82
	$\Delta t=12^0S$	108,13	129,15	149,55	178,8	188,24	197,53	215,96
	$\Delta t=9^0S$	141,63	171,79	200,84	228,75	229,32	251,47	277,85
	$\Delta t=6^0S$	194,43	242,02	277,85	313,34	330,44	355,79	388,92
	$\Delta t=3^0S$	353,5	424,6	492,94	562,67	592,94	622,91	688,96
$\Delta t_{d.x}$	$\Delta t=15^0S$	0,182	0,2306	0,2792	0,3277	0,352	0,3763	0,4249
	$\Delta t=12^0S$	0,1819	0,2305	0,2791	0,3276	0,3519	0,3762	0,4247
	$\Delta t=9^0S$	0,1818	0,2304	0,2789	0,3275	0,3517	0,3758	0,4246
	$\Delta t=6^0S$	0,1817	0,2302	0,2788	0,3273	0,3516	0,3757	0,4244
	$\Delta t=3^0S$	0,1816	0,23	0,2786	0,3271	0,3514	0,3756	0,4243
$\Delta t_{id.d}$	$\Delta t=15^0S$	32,82	34,79	35,22	35,74	37,12	37,54	38,72
	$\Delta t=12^0S$	26,99	28,63	28,9	29,39	29,95	30,51	31,51
	$\Delta t=9^0S$	20,59	21,5	22,27	22,96	23,58	23,95	24,48
	$\Delta t=6^0S$	14,98	15,25	16,09	16,58	16,92	17,02	17,39
	$\Delta t=3^0S$	8,23	8,69	9,06	9,32	9,5	9,66	9,87

Q_{hr}^s , Q_{sb}^k , Q_{sb}^s və Q_{hr}^{it} istilik itkilərinin hesabat yolu ilə alınmış qiymətləri cədvəl 3-də, Q_{pk} , Q_{hr}^a , Q_{hr}^{um} , Q_{hr}^{fay} , Re_{id} , Nu_{id} , α , $\Delta t_{d.x}$, $\Delta t_{id.d}$ parametrlərinin müvafiq düsturlara əsasən hesabat yolu ilə alınmış qiymətləri isə cədvəl 4-də verilmişdir.

Cədvəl 3-dən göründüyü kimi Q_{pk} , Q_{hr}^a və Q_{hr}^{um} istilik enerjiləri istilikdaşıyıcının temperatur düşgüsündən asılı deyillər, GŞES-dan isə xətti asılıdır (cədvəl 2 və cədvəl 3-dəki göstəricilər bir ədəd PK üçündür).



Şəkil 7. Temperatur düşgüsünün müxtəlif qiymətlərində helioreaktorun f.i.ə.-nın GSES-dan asılılığı.

Q_{hr}^{fay} -istilk enerjisi Δt -dən zəif, GSES-dan isə xeyli dərəcədə asılıdır. İstilikdaşıyıcının giriş və çıkış temperaturları arasındaki temperatur düşgüsündən nisbətən kəskin asılı olan parametrlər Re_{id} və Nu_{id} kriteriyaları, α və $\Delta t_{id,d}$ -dir.

Re_{id} kriteriyasının qiymətlərindən göründüyü kimi, axma rejimi aşağıdakı hallarda turbulent xarakter dasındığından PK qərarlaşmış rejimdə işləyir.

- a) $I=400-500 \text{ Vt/m}^2$; $\Delta t=3^\circ\text{S}$
 b) $I=500-750 \text{ Vt/m}^2$; $\Delta t=3-6^\circ\text{S}$
 v) $I=750-900 \text{ Vt/m}^2$; $\Delta t=3-9^\circ\text{S}$

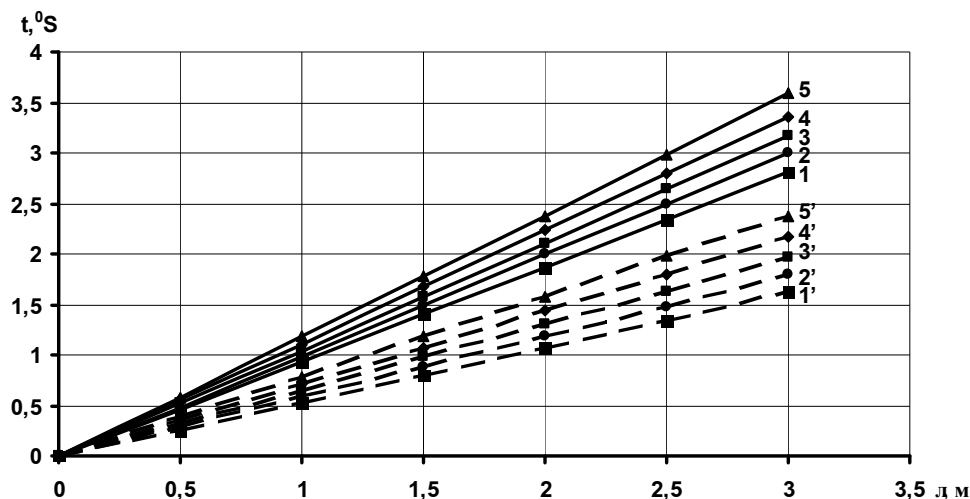
Nu_{id} kriteriyalarının küçük olması öz təsirini α -nın qiymətlərində, axırıncılar isə helioreaktorun daxili divarı ilə istilikdaşıyıcının arasında olan temperatur düşgüsünün xeyli miqdarda artmasında göstərir.

Təbii ki, belə işçi rejimdə böyük temperatur düşgülərində işləyərkən çıxışda lazımi temperaturun alınması üçün istilikdaşıyıcının sərfi və axın sürəti xeyli miqdarda aşağı, istilikdaşıyıcının helioreaktorun şúa qəbul edən səthi ilə kontakt müddəti isə çox olur. Lakin temperatur düşgülərinin kiçik GSES-nin isə böyük qiymətlərində işləyərkən istilikdaşıyıcının sərfi və sürəti artır, buna müvafiq olaraq kontakt müddəti azalır və proses turbulent axımlı qərarlaşmış rejimdə keçir (şəkil 2, şəkil 3 və şəkil 4-də uyğun olaraq istilikdaşıyıcının sərfinin, onun axma süretinin və helioreaktorun səthi ilə kontakt müddətinin temperatur düşgülərinin müxtəlif qiymətləri üçün GSES-dan asılılıq qrafikləri təsvir olunmusdur).

Şekil 5-də helioreaktorun xarici divarının orta temperaturunun müxtəlif temperatur düşgüləri üçün GSES-dan asılılıq qrafikləri təsvir olunmuşdur. Göründüyü kimi t_{hr}^{xd} -in qiyməti həm temperatur düşgüsündən həm də GSES-dan xətti asılıdır və bu asılılıq düz mütənasib xarakter dasıvır.

Temperatur basqısının helioreaktorun xarici divarının temperaturundan asılılıq qrafiki isə hiperbolik xarakter dasıvır.

Şəkil 6-da müxtəlif temperatur düşgüləri üçün həmin asılılıqların qrafikləri verilmişdir. Temperatur basqısının qiymətlərinin böyük olması və bunun temperatur düşgüsünün böyük qiymətlərində daha kəskin nəzərə çarpması Re və Nu kriteriyalarının və onlardan da asılı olaraq α -nın kiçik qiymətlər alması ilə izah olunur.



Şəkil 8. Helioreaktorun səthinin və onun daxilindəki istilikdaşıyıcıının temperaturlarının onların uzunluqlarından asılılığı.

Həm təcrübələrin nəticələrinin bir-biri ilə müqayisəsi həm də bu nəticələrin digər tədqiqatların nəticələri ilə müqayisəsindən görünür ki, helioreaktorun səthinin temperaturunun onun uzunluğu boyunca artması, helioreaktorun girişindən çıxışına doğru hərəkət edərkən boru divarından istiliyi qəbul edən istilikdaşıyıcıının temperaturunun artması ilə əlaqədardır ki, bu da borunun sonunda həm istilikdaşıyıcıının həm də helioreaktorun səthinin temperaturlarının artması ilə izah olunur. Bu göstərici şəkil 8-də təsvir olunmuşdur. Göründüyü kimi burada GSES 500-900 Vt/m^2 intervalında dəyişməsi zaman həm HR-un səthinin (1-5 xətləri) həm də istilikdaşıyıcıının helioreaktorun giriş və çıkışındaki temperaturlarının fərqiinin qiymətlərinin (1'-5' xətləri) helioreaktorun uzunluğundan asılılıq qrafikləri xətti xarakter daşıyırlar.

1. Mammadov F.F. Application of solar energy in the initial crude oil treatment process in oil fields // Journal of Energy in Southern Africa, vol 17, No2, May 2006, p. 27-30.
2. Мамедов Ф.Ф., Керимов М.А., Рзаев П.Ф., Саламов О.М., Исаков Г.И. Экспериментальное исследование тепловых процессов параболоцилиндрической солнечной установки для подготовки сырой нефти к переработке на нефтепромыслах // Альтернативная Энергетика и Экология. М.:2005, №7 (27), с.59-61.
3. Rzayev, P.F., Kerimov, M.A., Mammadov, F.F., Mustafayeva R.M. 2005. Thermotechnical calculation of parabolic trough solar concentrator / Eighth Baki International Congress "Energy, Ecology, Economy" Baki: 2005, p. 137-140.
4. Саламов О.М., Мамедов Ф.Ф., Гарифов А.А., Рзаев П.Ф., Исаков Г.И. Исследования энергетических характеристик солнечной установки с параболоцилиндрическим концентратором, для тепловой обработки сырой нефти // Альтернативная Энергетика и Экология. М.:2005, №11 (31),с.48-54.
5. Умаров Г.Я. Абидов Т.З. Трухов В.С. Расчет тепловой трубы, используемой в качестве теплоприемника солнечной энергетической установки с параболоцилиндрическим концентратором // Гелиотехника, 1974, №1, с.44-47
6. Михеев М.А., Михеева И.М. Основы теплопередачи. М.: ГЭИ, 1977, 343 с.
7. Карта «Тепловой баланс Азербайджана», 64 с. Аз ССР. 1990.
8. Михеев М.А., Михеева И.М. Краткий курс теплопередачи. М.Л: ГЭИ, 1960, 208 с.
9. Недужий И.А., Алаболовский А.Н. Техническая термодинамика и теплопередача. Киев, Высшая школа, 1978, 223 с.
10. Вукалович.М.П. Термодинамические свойства воды и водяного пара. М.: Машгиз, 1958, 245 с.

**ТЕПЛОЭНЕРГЕТИЧЕСКИЙ РАСЧЕТ СИСТЕМЫ ТРУБЧАТОГО
ГЕЛИОРЕАКТОРА И ТЕПЛОНОСИТЕЛЯ СОЛНЕЧНОЙ ЭНЕРГЕТИЧЕСКОЙ
УСТАНОВКИ ПО ЭКСПЕРИМЕНТАЛЬНЫМ РЕЗУЛЬТАТАМ.**

МАМЕДОВ Ф.Ф., САЛАМОВ О.М., ГАРИБОВ А.А.

В статье проводятся результаты расчета трубчатого гелиоreakтора солнечной энергетической установки проведенного для разных значениях интенсивности солнечной радиации с учетом экспериментальных данных натурного испытания.

**HEAT-POWER ENGINEERING CALCULATION OF TUBULAR SOLAR REACTOR
AND HEAT TRANSFER SYSTEM OF SOLAR POWER PLANT ON THE
EXPERIMENTAL RESULTS.**

MAMMADOV F.F., SALAMOV O.M., GARIBOV A.A.

In the present research, study on the calculation results obtained of tubular solar reactor of the solar power plant were carried out for several showings of solar radiation taking into consideration experimental dates of the practical tests in open air.